# 吾妻山の火山活動解説資料(令和6年2月)

仙 台 管 区 気 象 台 地域火山監視・警報センター

火山性地震は今期間少ない状態で経過しており、また大穴火口浅部では緩やかな収縮を示す変化がみられています。大穴火口周辺では、浅部の熱水活動が低下している可能性があるものの火山ガスや噴気・地熱の活動が継続しており、突発的な噴出現象が発生する可能性があることに留意が必要です。また、入山する際には火山ガスに注意してください。

噴火予報(噴火警戒レベル1、活火山であることに留意)の予報事項に変更はありません。

## 〇 活動概況

### ・地震や微動の発生状況 (図1-45、図2-2~6)

大穴火口付近の火山性地震は2023年9月中旬以降、発生頻度が概ね低い状態で経過しており、今期間の火山性地震の回数は1回(2024年1月は2回)でした。低周波地震は2023年12月中旬以降観測されていません。

長周期地震\*1は、発生頻度が2023年8月以降低下傾向となっています。

※1 長周期地震とは周期が10秒程度と長い地震です。浅い領域の熱水や火山ガスが関与していると考えられます。

#### ・地殻変動の状況(図1-36、図2-1、図3、図14)

浄土平観測点(大穴火口から東南東約1km)に設置している傾斜計では、2023年9月下旬から大穴火口方向の沈降を示す変化がみられています。GNSS連続観測の大穴火口周辺の短い基線の一部では、2023年9月下旬から縮みの変化となっています。GNSS連続観測の吾妻山周辺の長い基線の一部でみられていたわずかな伸びの変化は、2023年7月頃から停滞しています。

#### ・噴気など表面現象の状況(図1-①、図4~9)

大穴火口の噴気の高さは一時的に 200m を観測しましたが、その他の期間は 100m以下で経過し、 大穴火口付近及びその周辺の噴気の状況に変化は認められませんでした。浄土平3監視カメラの熱 映像データの解析では、2023 年後半以降、大穴火口周辺の一部地熱域で縮小が認められています。

29 日に陸上自衛隊東北方面隊の協力により実施した上空からの観測では、前回の観測と比較して、 大穴火口付近及びその周辺の地熱域に大きな変化は認められず、熱活動が継続していることを確認 しました。

#### ・火山ガスの状況 (図1-2)、図10)

大穴火口の北西に設置している火山ガス観測装置による観測では、今期間は季節風の影響により得られた観測データが少数ですが、 $SO_2$  (二酸化硫黄) と  $H_2S$  (硫化水素) の濃度比 $^2$ 2 はやや低下しているものの静穏期と比較すると依然高い値で推移しています。

※2 噴気中の各種火山ガスは地下のマグマに由来するものであり、その濃度や成分毎の比率(濃度比)の変化は、火山の活動状態の指標のひとつと考えられています。

#### 全磁力変化の状況(図11、図12、図15)

全磁力連続観測では、一部の観測点のデータは欠測のため確認できませんが、大穴火口周辺地下の温度上昇を示唆する変化は停滞している可能性があります。

この火山活動解説資料は気象庁ホームページで閲覧することができます。

https://www.data.jma.go.jp/vois/data/tokyo/STOCK/monthly\_v-act\_doc/monthly\_vact.php

次回の火山活動解説資料(令和6年3月分)は令和6年4月8日に発表する予定です。

資料で用いる用語の解説については、「気象庁が噴火警報等で用いる用語集」を御覧ください。

https://www.data.jma.go.jp/vois/data/tokyo/STOCK/kaisetsu/kazanyougo/mokuji.html

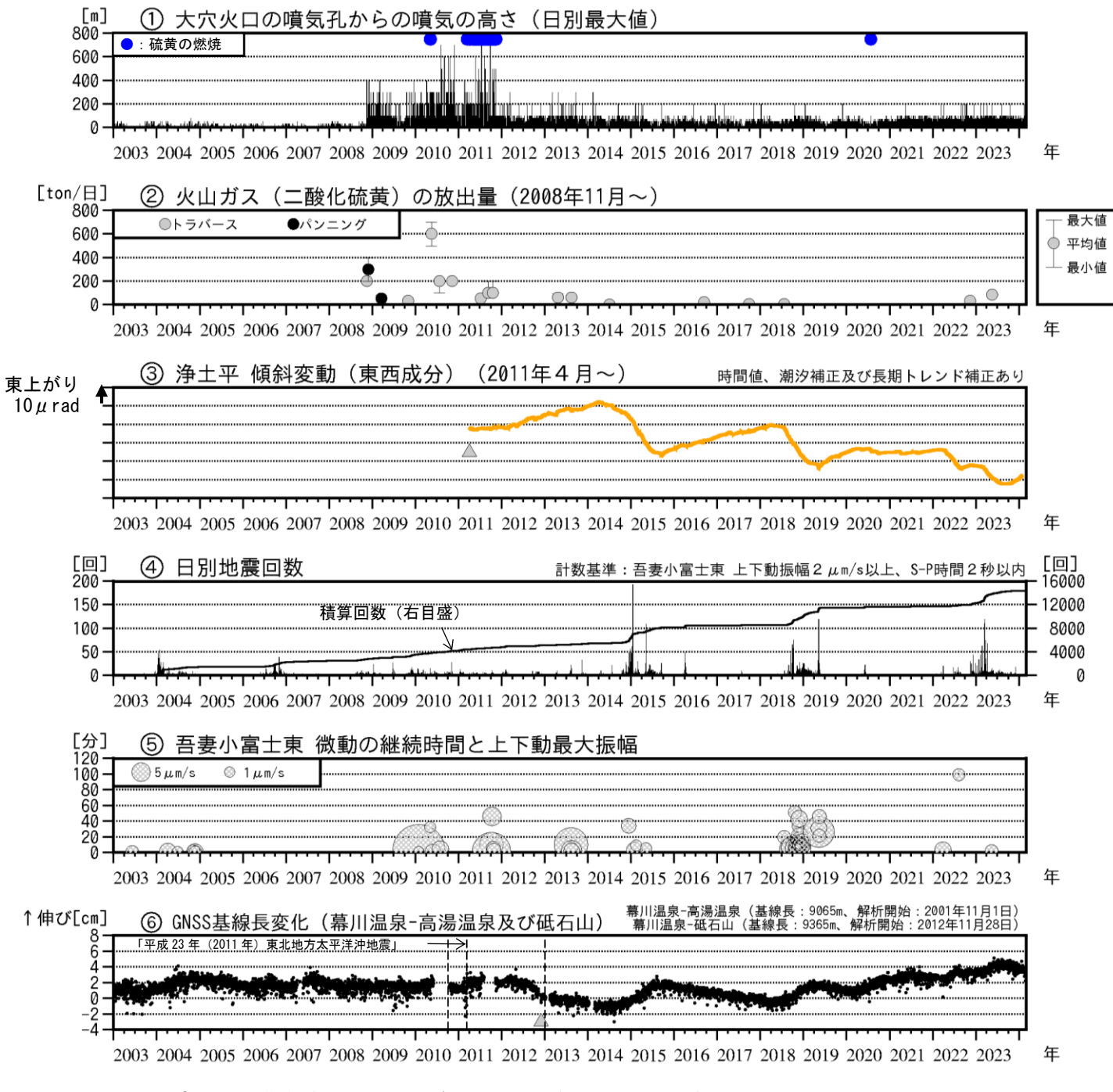
この資料は気象庁のほか、国土交通省東北地方整備局、国土地理院、東北大学及び国立研究開発法人防災科学技術研究所のデータも利用して作成しています。

本資料中の地図の作成に当たっては、国土地理院発行の「数値地図 50mメッシュ(標高)」及び「電子地形図(タイル)」を使用しています。

吾妻山

## 〇 活動評価

大穴火口付近浅部での火山性地震は少ない状態で経過しています。浄土平傾斜計では2023年9月下旬から大穴火口方向の沈降を示す変化がみられ、またGNSS連続観測の大穴火口周辺の短い基線の一部では9月下旬から縮みの変化がみられる等、浅部の緩やかな収縮を示す変化がみられています。大穴火口周辺では、やや活発な状態で推移していた浅部の熱水活動が低下した可能性があります。一方で、火山ガスの $SO_2$ と $H_2$ Sの濃度比はやや低下しているものの静穏期と比較すると依然高い値で推移しており、また、噴気・地熱の活動が継続していますので、今後の火山活動の推移に留意してください。



#### 図 1 吾妻山 中期的な火山活動の経過(2003年1月~2024年2月)

- ・⑥は図 14 の GNSS 基線③に対応しています。
- ・⑥「平成23年(2011年)東北地方太平洋沖地震」に伴うステップを補正しています。
- ・⑥高湯温泉観測点は約300m東に位置する砥石山観測点に移設しました。
- ・⑥GNSS 基線長は 2010 年 10 月及び 2013 年 1 月に解析方法を変更しています。
- ▲:解析開始を示します。

2003 年以降、吾妻山深部及び大穴火口浅部の膨張を示す地殻変動や地震活動の活発化を繰り返しています。

2008年から2011年にかけて、噴気・地熱活動が活発な状況でした。

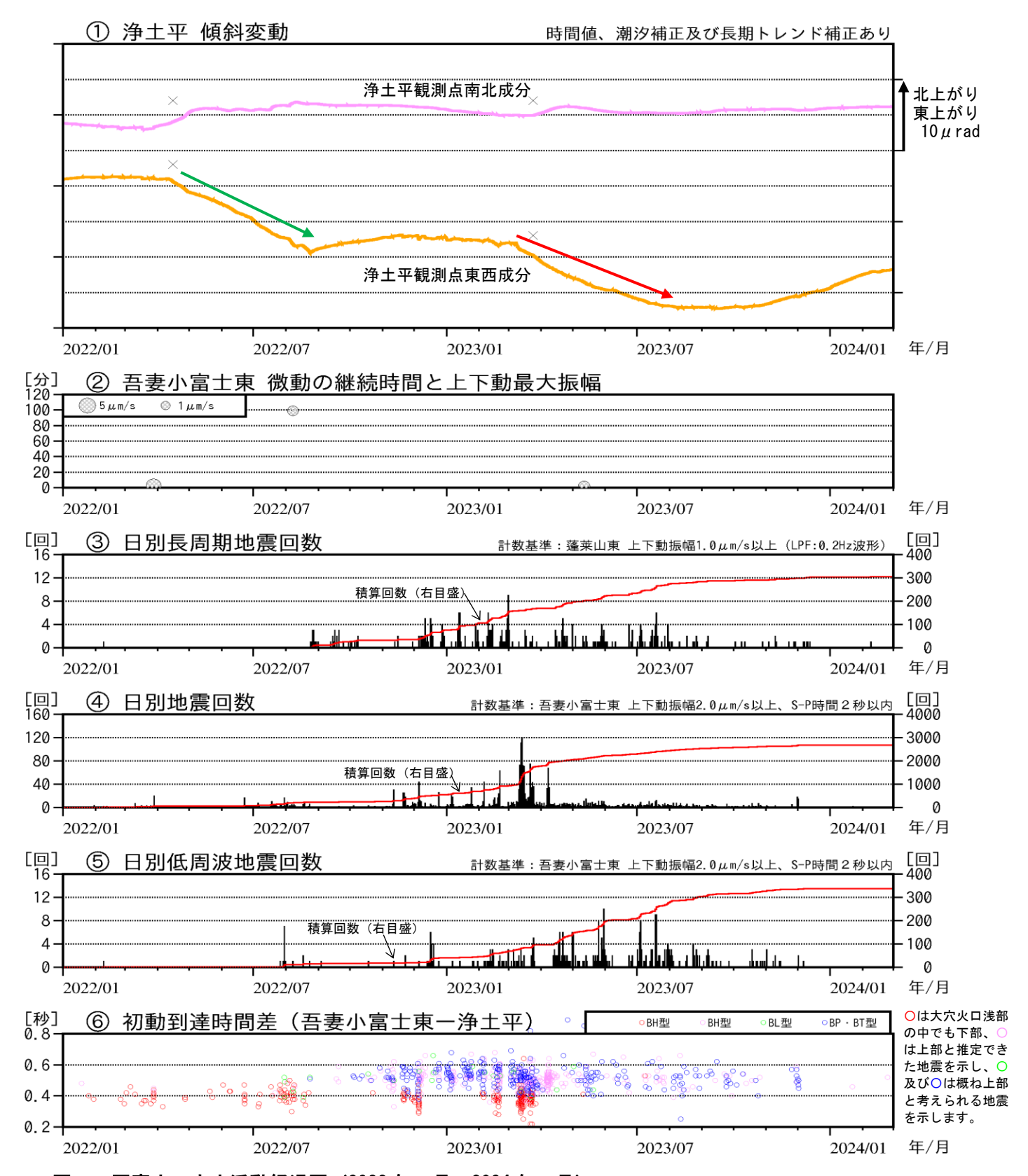
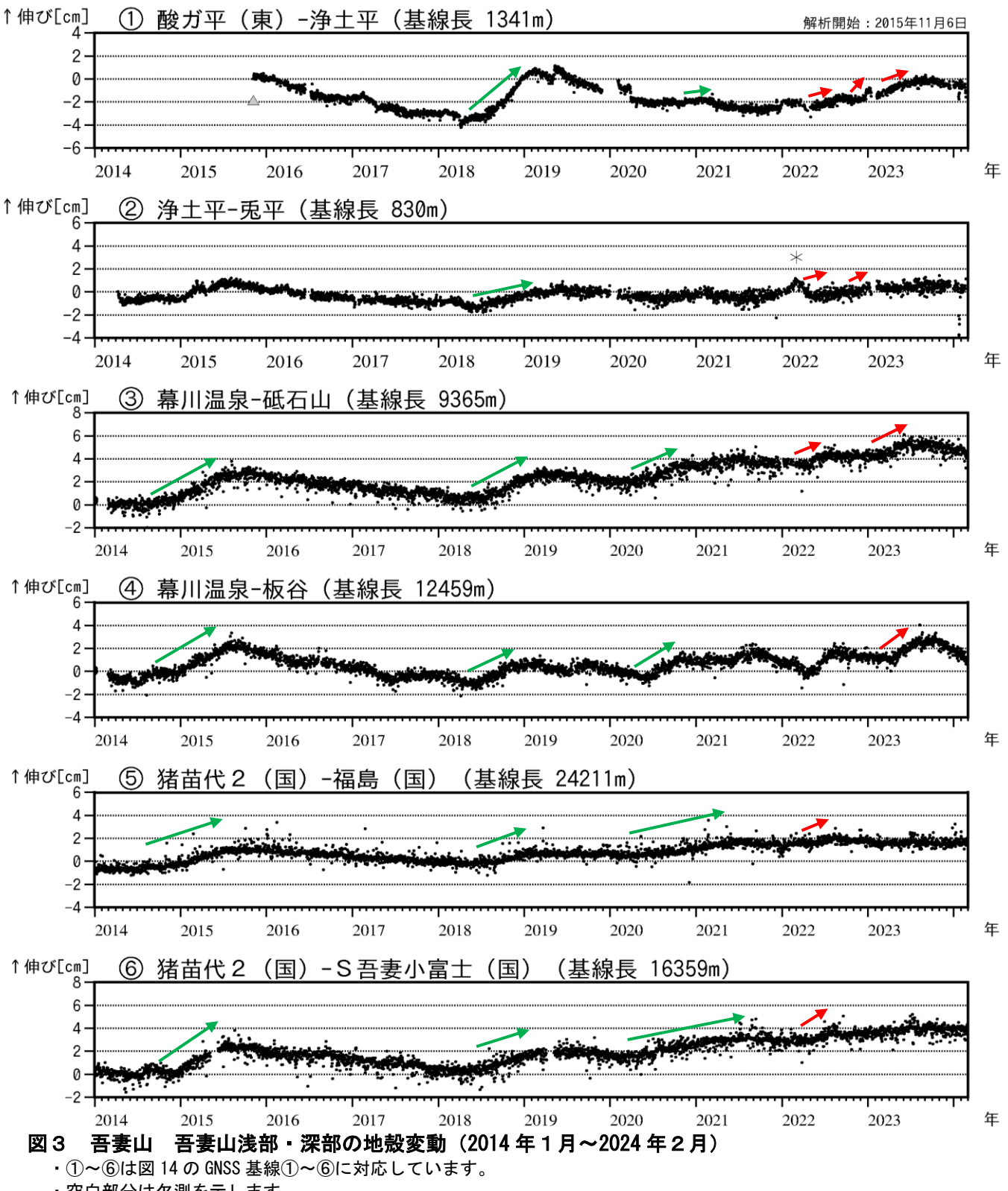


図2 吾妻山 火山活動経過図(2022年1月~2024年2月)

- ・①×:融雪期には北西上がりの変動がみられます。
- ・ ④日別地震回数に③長周期地震の回数は含まれていません。

火山性地震は今期間少ない状態で経過しました。低周波地震は 2023 年 12 月中旬以降観測されていません。長周期地震の発生頻度も、2023 年 8 月以降低下傾向となっています。

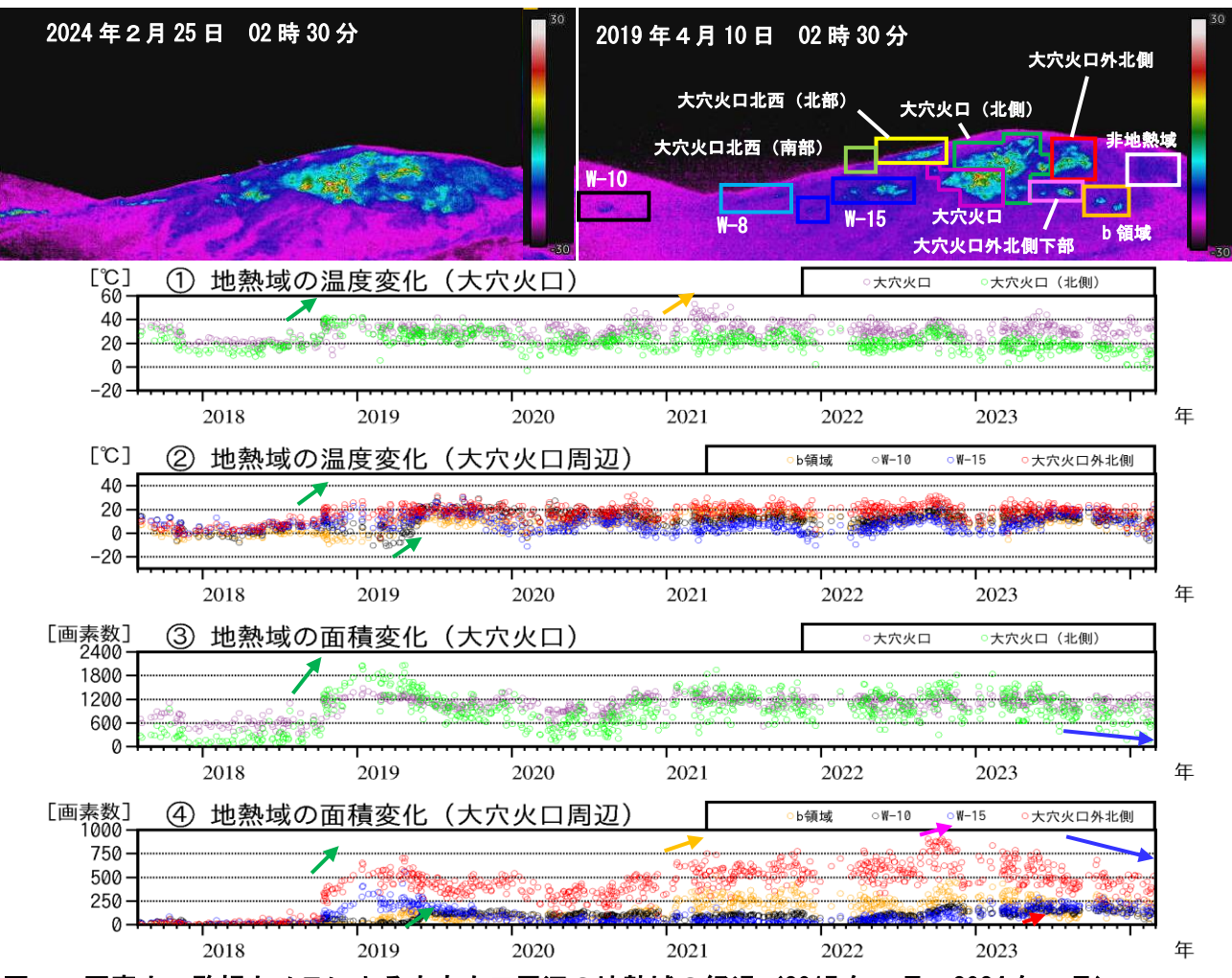
浄土平観測点(大穴火口から東南東約1km)に設置している傾斜計では、2022年5月上旬から大穴火口(西)方向の隆起を示す緩やかな変化がみられていました(緑矢印)。この変化は2023年3月上旬から再開しましたが(赤矢印)、8月頃から停滞し、9月下旬から大穴火口方向の沈降を示す変化となっています。



- ・空白部分は欠測を示します。
- ・(国)は国土地理院、(東)は東北大学の観測点を示します。
- ▼:解析開始を示します。
- \*: 積雪等に起因すると考えられる変化で、火山活動によるものではないと考えられます。
- ・大穴火口周辺の短い基線や吾妻山周辺の長い基線では、過去大穴火口浅部や吾妻山深部での火山活動に伴う変化 (緑矢印) が観測されていました。

GNSS 連続観測の大穴火口周辺の短い基線(①②)では、2022 年 5 月頃から 8 月頃、12 月頃に火山 活動の可能性のある伸びの変化が認められていました。この変化は、①の基線において 2023 年3月 上旬以降も継続していましたが(赤矢印)、6月下旬から停滞し、9月下旬から縮みの変化となって います。

吾妻山周辺の長い基線(③~⑥)の一部では、2022年5月頃から8月頃及び2023年3月頃以降、 わずかな伸びの変化(赤矢印)が観測されていましたが、7月頃から停滞しています。



#### 図4 吾妻山 監視カメラによる大穴火口周辺の地熱域の経過(2017年8月〜2024年2月)

- ・①~②は各領域の最高温度と吾妻山の南約6㎞のアメダス鷲倉の気温との差を示しています。
- ・③~④は領域毎に非地熱域(白枠)の平均温度より5℃以上高い領域の画素数を示しています。数値が大きくなる ほど、地熱域の面積が拡大していることを示します。・空白部分は天候不良等による欠測を表しています。
- ・2018 年 10 月と 2019 年 5 月の火山活動活発化の際には、地熱域の面積拡大と温度上昇がみられました(緑矢印)。
- ・2021 年 1 月から 3 月頃にかけて、大穴火口周辺の一部で地熱域のわずかな温度上昇や面積拡大がみられ(橙矢印)、2022 年 9 月頃から 11 月頃にかけて、大穴火口周辺の一部の地熱域で面積のわずかな拡大がみられました(桃色矢印)。

大穴火口北側(緑丸)や大穴火口外北側(赤丸)では 2023 年後半以降、地熱域の縮小が認められます(青矢印)。一方、W-10(黒丸)やW-15(青丸)などは地熱域のわずかに拡大した状態を維持しています(赤矢印)。



### 図5 吾妻山 大穴火口周辺の噴気の状況(2月9日)

- ・左図:東北地方整備局が設置している浄土平監視カメラ(大穴火口の東南東約500m)の映像です。
- ・右図:上野寺監視カメラ (大穴火口から東北東約 14km) の映像です。

監視カメラによる観測では、今期間、大穴火口の噴気の高さは一時的に 200mを観測しましたが、 その他の期間は 100m以下で経過し、大穴火口及びその周辺の噴気の状況に変化は認められません。

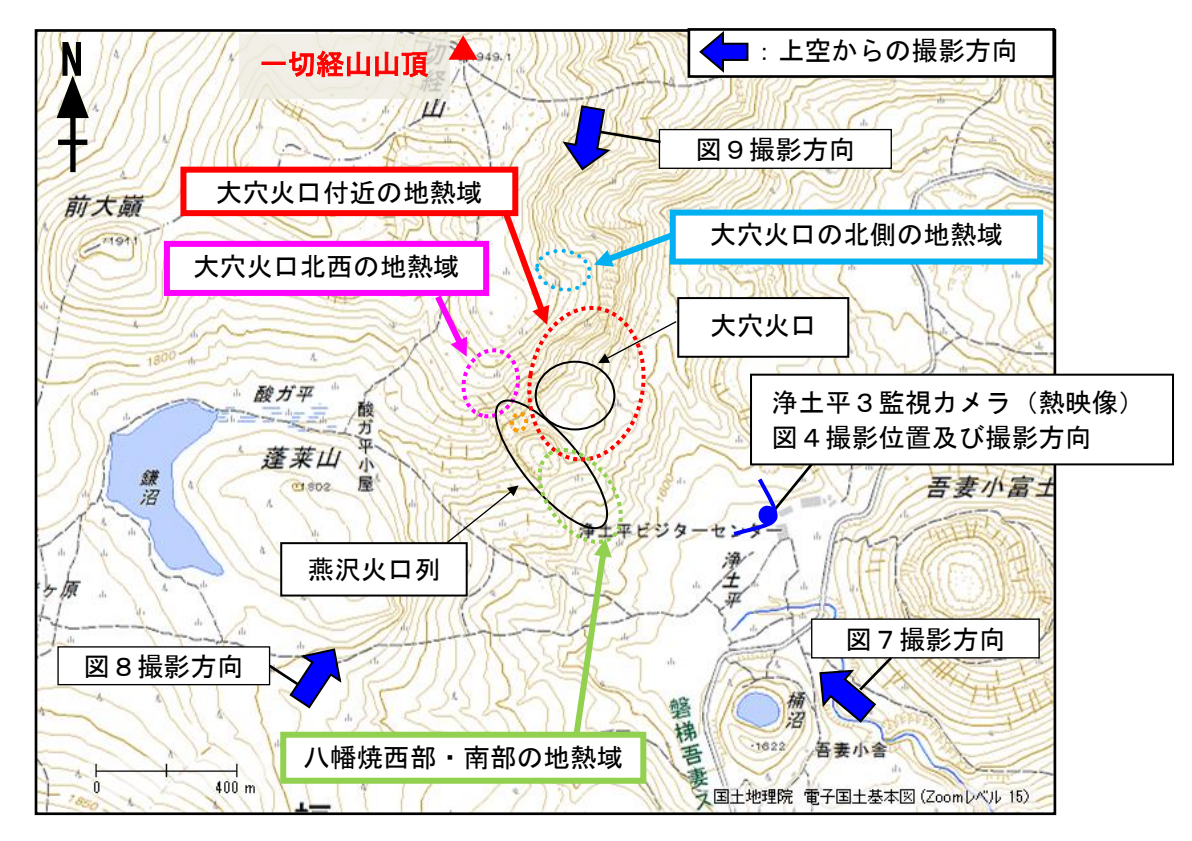


図6 吾妻山 大穴火口周辺の噴気と地熱域の分布及び写真と地表面温度分布撮影位置、撮影方向

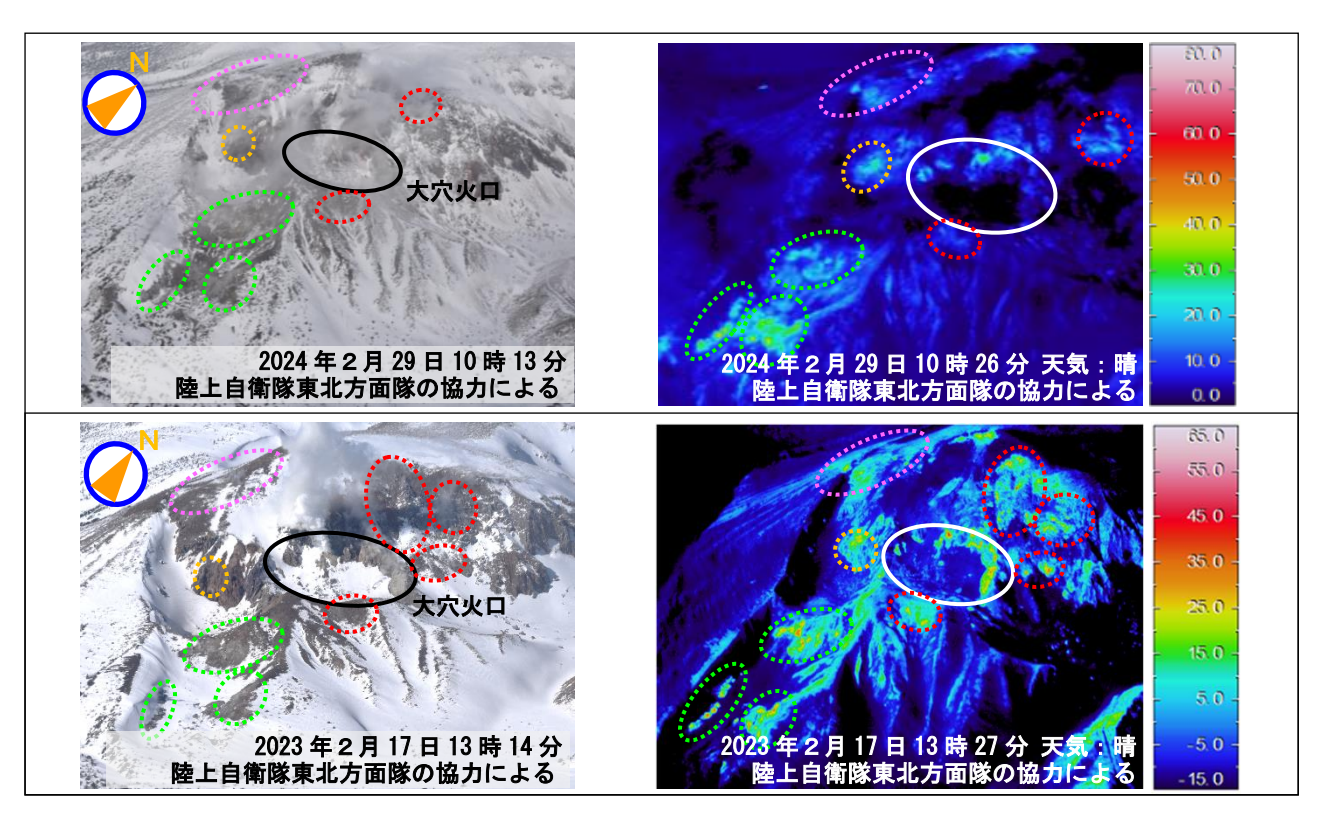


図7 吾妻山 上空から撮影した大穴火口及びその周辺の状況と地表面温度分布

- ・図中の破線の色は、図6の破線の色に対応します。
- ※日射の影響により、裸地等では表面温度が高めに表示されています。
- ※噴気や雲のため、一部の地熱域が隠れています。

大穴火口付近とその周辺に大きな変化は認められず、熱活動が継続していることを確認しました。

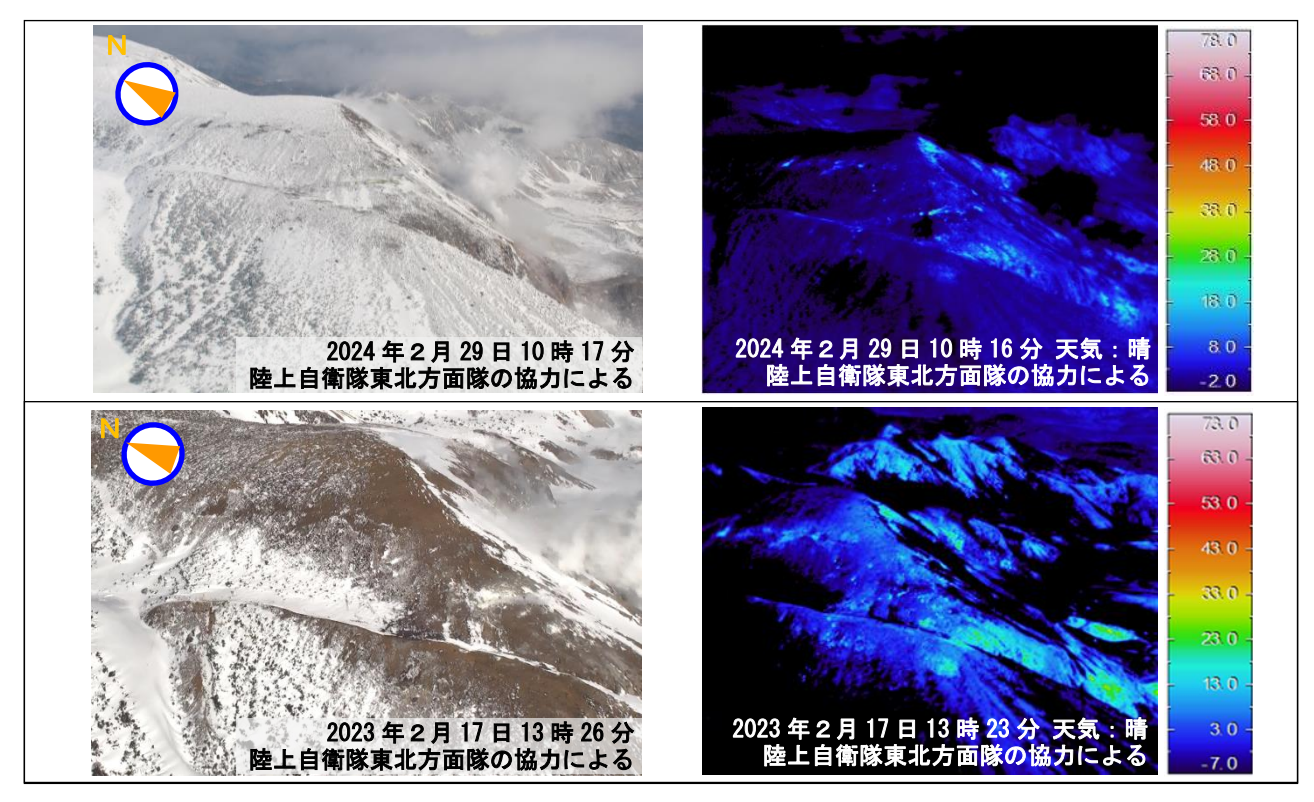


図8 吾妻山 上空から撮影した大穴火口北西の状況と地表面温度分布

※日射の影響により、裸地等では表面温度が高めに表示されています。

大穴火口北西では、噴気・地熱域の状況に大きな変化は認められませんでした。

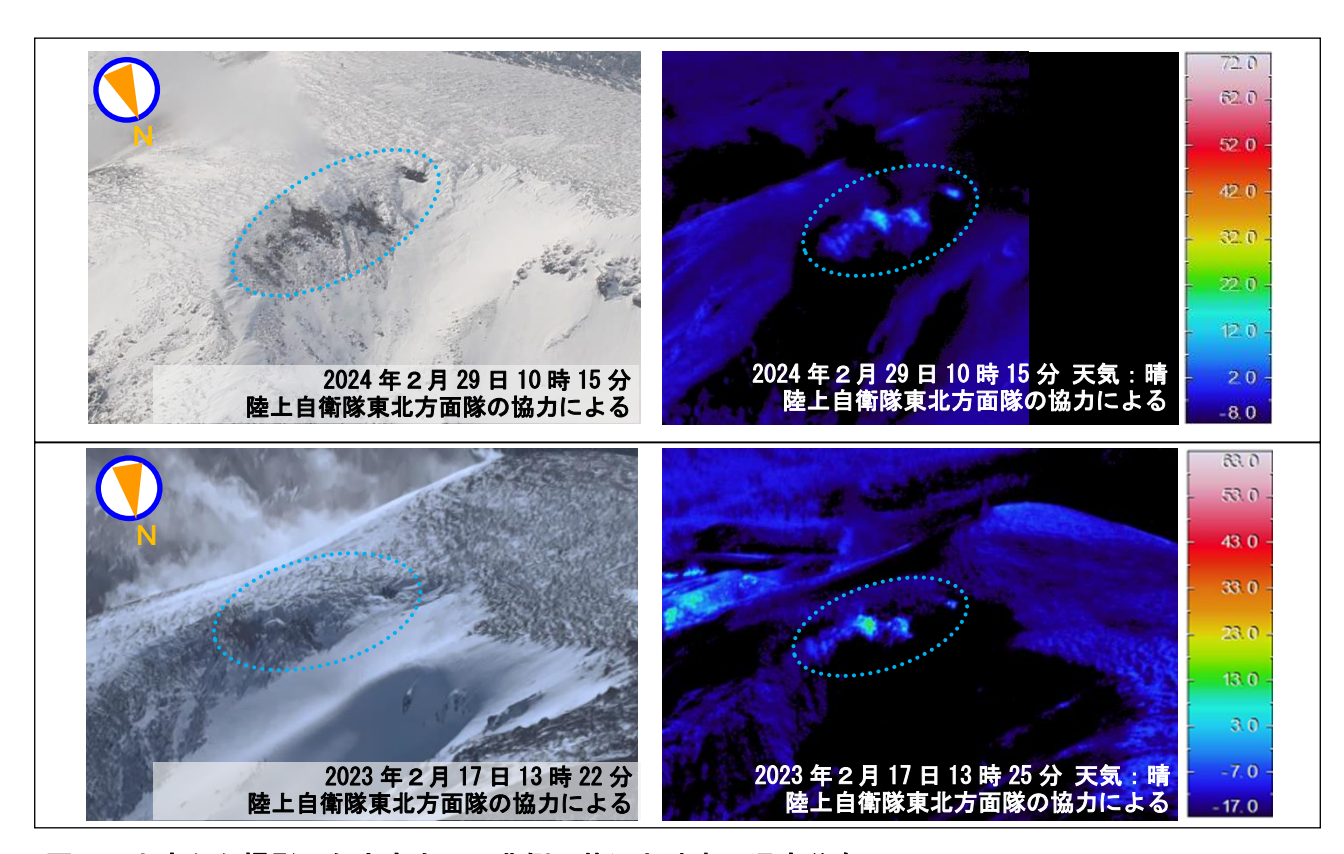
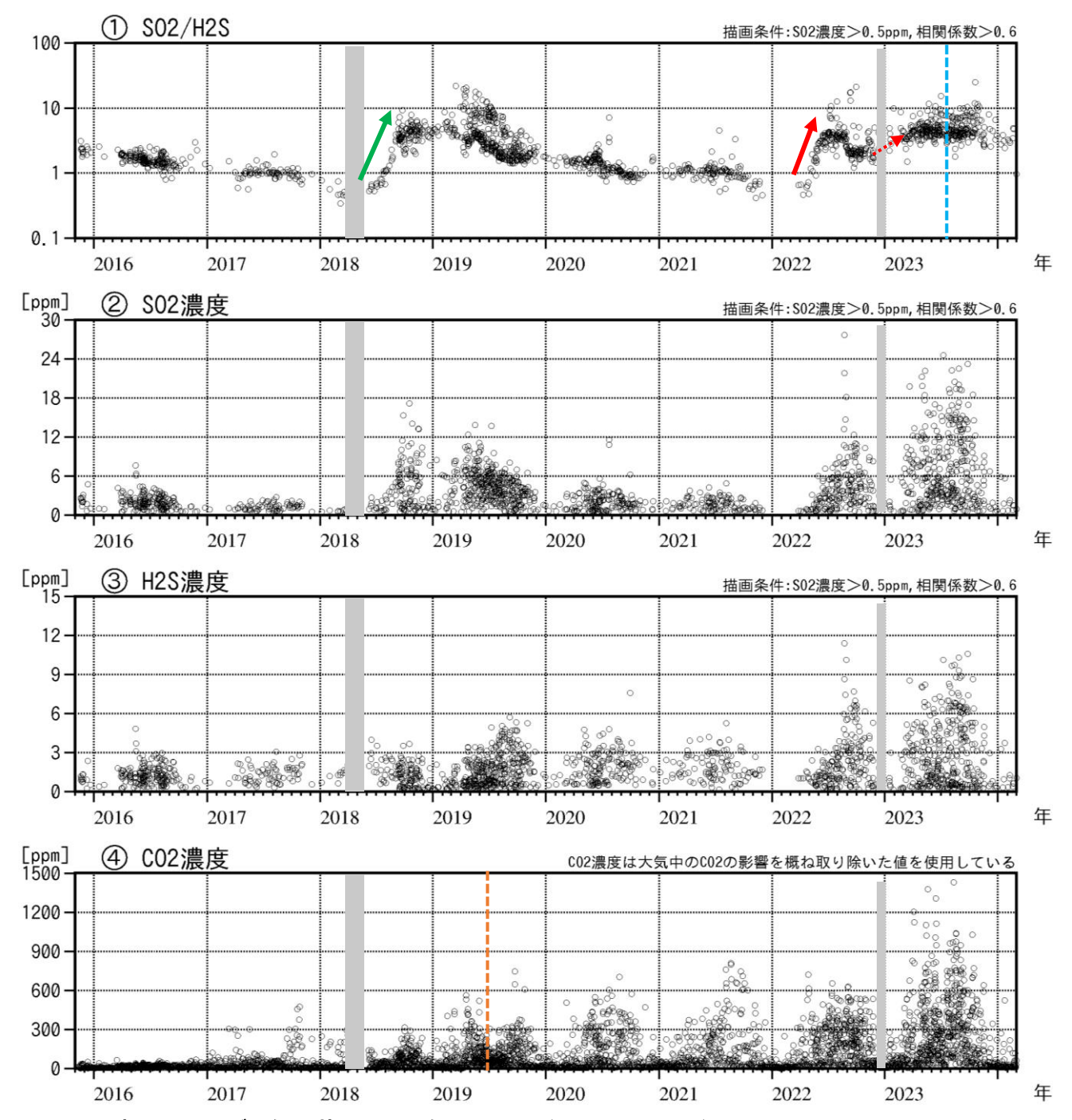


図9 上空から撮影した大穴火口の北側の状況と地表面温度分布

- ・図中の破線の色は、図6の破線の色に対応します。
- ※日射の影響により、裸地等では表面温度が高めに表示されています。

大穴火口の北側では、地熱域と考えられる領域(水色破線内)が、引き続き認められました。

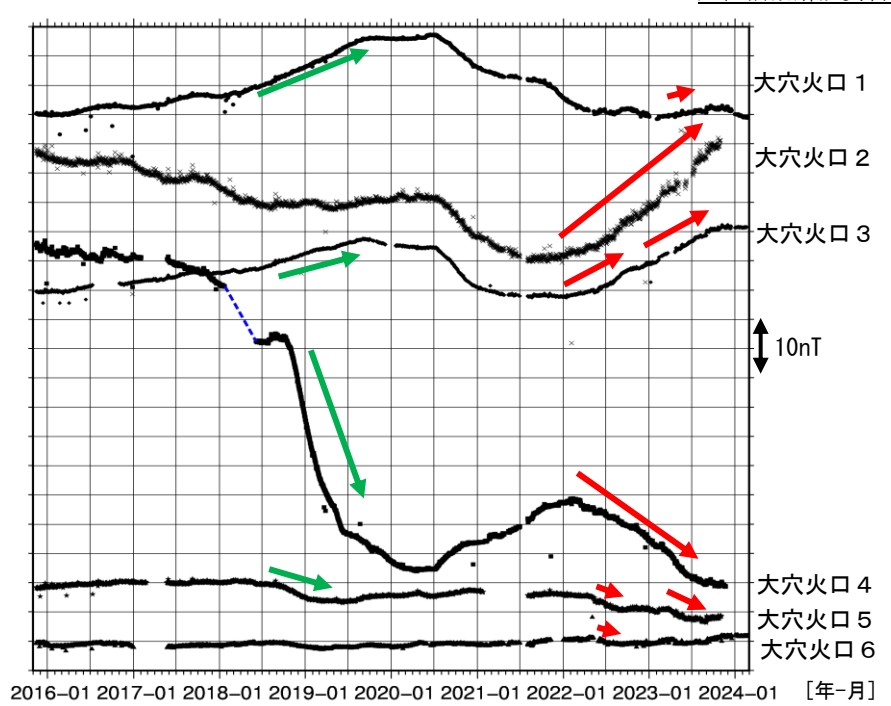
- 8 - <u>吾妻山</u>



#### 図 10 吾妻山 火山ガス観測装置による観測(2015年 11月~2024年2月)

- ・火山ガス観測装置では、噴気孔から流れてくる火山ガスと周辺大気の混合気体を測定しているため、測定される濃度は、風向きや大気との混合の影響を受けて増減する場合があります。一方、複数の火山ガスの濃度比はこうした影響を受けにくいため、火山活動評価の指標として利用しています。
- ・水色破線は火山ガス観測装置のセンサー交換を示し、それ以降のデータは感度補正を行っていません。水色破線以前 のデータは感度補正済みです。
- ・橙色破線は火山ガス観測装置のセンサー交換を示し、それ以前は高濃度の  $\mathrm{CO}_2$ を観測できていない可能性があります。
- ・グラフの灰色部分は欠測を表しています。
- ・季節風が強まる冬期には観測点が大穴火口の北西側にある位置関係のため観測データを得にくい状況となります。
- ・ $SO_2$ と  $H_2S$  の濃度比は 2018 年 5 月頃から 9 月にかけて上昇がみられ(緑矢印)、2022 年 5 月頃にも上昇がみられました(赤矢印)。

火山ガス観測装置による観測では、 $SO_2$ と  $H_2S$  の濃度比(赤破線矢印)は、2023 年 2018 年 2018 年 2019 年の活動期並みの高い値となっていました。冬期は観測データが得にくい状況ですが、今期間  $SO_2$ と  $H_2S$  の濃度比はやや低下しているものの静穏期と比較すると高い値で推移しています。



## 図 11 吾妻山 全磁力連続観測点の全磁力値変化(2015年 11月~2024年2月)

- ・各観測点の場所は図15に示しています。 ・グラフの空白部分は欠測を表しています。
- ・全磁力連続観測のデータは参照点(大穴火口の北東約6kmにある高湯観測点あるいは大穴火口の南東約16kmにある上葉木坂西観測点)で観測された全磁力値を基準とした場合の各日の00時00分から02時59分の平均値を示しています。
- ・青破線で示す観測点大穴火口4における全磁力変動は、観測機器を再設置したことによる人為的な変動です。
- ・2018 年から 2019 年にかけて、全磁力値の変化がみられました(緑矢印)。この変化は大穴火口北西地下の温度上昇を示すと考えられます。

全磁力連続観測では、2021 年 12 月以降大穴火口2と3で全磁力値の増加、2022 年3月頃から大穴火口4で全磁力値の低下、2023 年4月頃から大穴火口5で全磁力値のわずかな低下がみられ、大穴火口周辺浅部の温度上昇を示唆する変化(赤矢印)が認められました。

その後、大穴火口3での全磁力値の増加傾向は 2023 年 12 月頃から停滞、大穴火口4の全磁力値の低下傾向は7月頃から鈍化、大穴火口5の全磁力値の低下傾向は9月頃から停滞傾向となっており、大穴火口周辺浅部の温度上昇を示唆する変化が停滞していると考えられます。

今期間、一部の観測点のデータは欠測のため確認できませんが、大穴火口周辺浅部の温度上昇を示唆する変化が停滞している可能性があります。

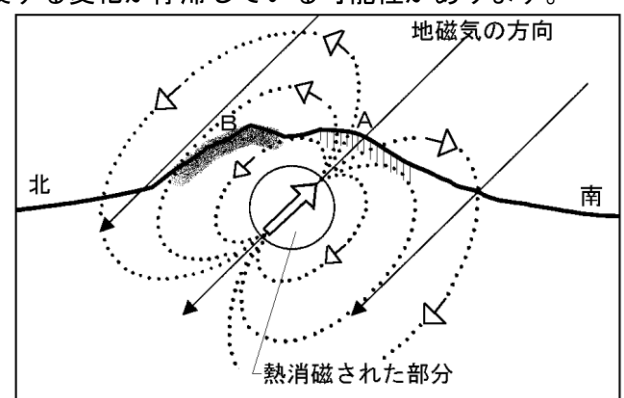


図 12 熱消磁に伴う全磁力変化のモデル

火山体周辺の全磁力変化と火山体内部の温度

北側の観測点で

全磁力増加 南側の観測点で

消磁

火山体内部の温度上昇を 示すと考えられる変化

全磁力減少

北側の観測点で 全磁力減少 南側の観測点で 全磁力増加



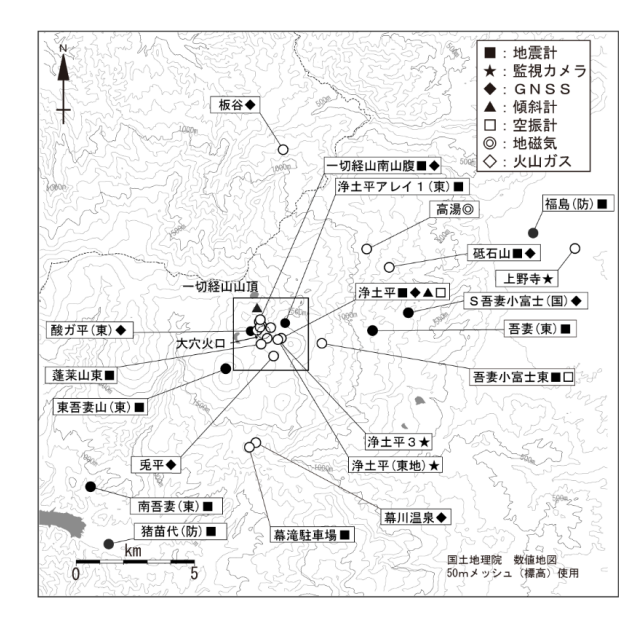
火山体内部の温度低下を 示すと考えられる変化

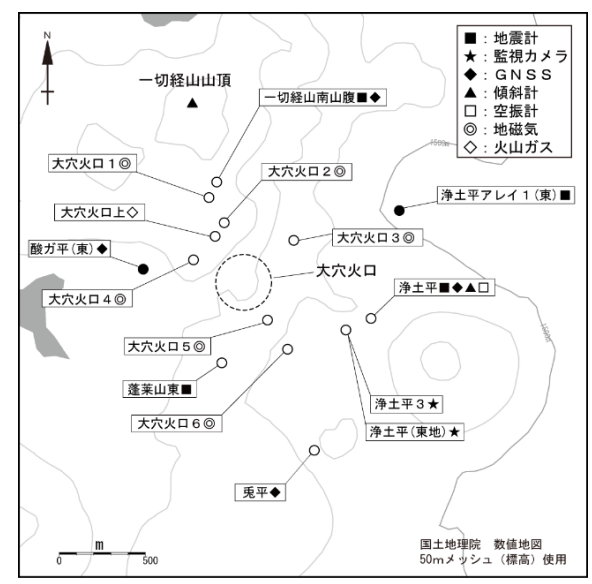
### 【参考】全磁力観測について

火山活動が静穏なときの火山体は地球の磁場(地磁気)の方向と同じ向きに磁化されています。これは、火山を構成する岩石には磁化しやすい鉱物が含まれており、マグマや火山ガス等に熱せられていた山体が冷えていく過程で、地磁気の方向に帯磁するためです。しかし、火山活動の活発化に伴い、マグマが地表へ近づくかし、火山活動の活発化に伴い、マグマが地表へ近づくない原因で火山体内の温度が上昇するにつれて、周辺とどの原因で火山体内の温度が上昇すると、地表で観測される磁場の強さ(全磁力)が変化します。これらのことから、全磁力観測により火山体内部の温度の様子を知る手がかりを得ることができます。

例えば、山頂直下で熱消磁が起きたとすると、火口の 南側では全磁力の減少、火口北側では逆に全磁力の増大 が観測されます。この変化は、熱消磁された部分に地磁 気と逆向きの磁化が生じたと考えることで説明できま す。左図に示すように、山頂部で観測した全磁力の値 は、南側Aでは地磁気と逆向きの磁力線に弱められて小 さく、北側Bでは強められて大きくなることがわかりま

ただし全磁力の変化は、熱消磁によるものだけでな く、地下の圧力変化などによっても生じることがありま す。





### 図 13 吾妻山 観測点配置図

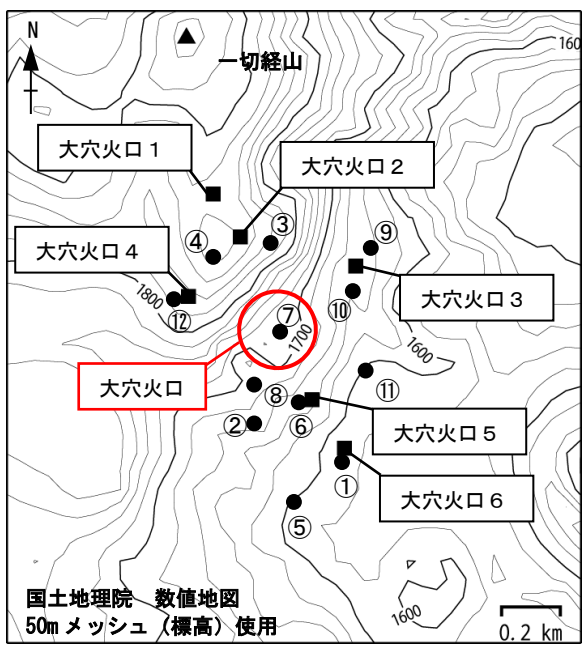
白丸(〇)は気象庁、黒丸(●)は気象庁以外の機関の観測点位置を示しています。 (東地):東北地方整備局 (国):国土地理院 (東):東北大学 (防):防災科学技術研究所 左図の四角囲みは右図の表示範囲を示しています。





#### 図 14 吾妻山 GNSS 観測基線図

白丸(〇)は気象庁、黒丸(●)は気象庁以外の機関の観測点位置を示しています。 左図の四角囲みは右図の表示範囲を示しています。 (国):国土地理院 (東):東北大学



## 図 15 吾妻山 全磁力観測点配置図

■:全磁力観測点(1~6)

●:全磁力繰り返し観測点(①~⑫)